

Obtención de la estructura ósea del pie al aplicar la umbralización global y la adaptativa

D.R. Ortega^{a,*}, G. Gutiérrez^a, A.M. Iznaga^a, T. Rodríguez^a, M. de Beule^b y B. Verheghe^b

^a Instituto Superior Politécnico José Antonio Echeverría, La Habana, Cuba

^b Faculty of Engineering, Institute of Biomedical Technology, Universidad de Ghent, Ghent, Bélgica



INFORMACIÓN DEL ARTÍCULO

Historia del artículo:

Recibido el 18 de julio de 2013

Aceptado el 20 de febrero de 2014

On-line el 27 de febrero de 2015

Palabras clave:

Umbralización global

Umbralización adaptativa

Procesamiento de imágenes médicas

Reconstrucción tridimensional de huesos

Modelación geométrica

Problema de la correspondencia

R E S U M E N

La descripción del comportamiento mecánico de tejidos duros mediante el empleo de modelos discretos pasa por diferentes etapas de análisis, que van desde el procesamiento digital de la imagen hasta la especificación de las propiedades físicas del tejido al modelo discreto. Para lograr un buen resultado es esencial la descomposición de esos modelos en sus partes constitutivas.

En este trabajo se discute un método para la descripción geométrica de los huesos del pie a partir de una secuencia de imágenes (cortes) de tomografía computarizada (TC).

La investigación propone la combinación de la umbralización global y de la adaptativa para la determinación del dominio geométrico de los huesos en cada corte, así como el análisis de las relaciones espaciales entre contornos en planos consecutivos a fin de obtener las isosuperficies de los huesos.

Se propone un algoritmo semiautomático basado en 4 etapas: la lectura de los cortes de imágenes de TC; la determinación de los contornos que definen el tejido óseo presente en cada corte; la formación de los volúmenes a través del agrupamiento de los contornos cuya relación espacial cumple un criterio determinado; y la eliminación de las isosuperficies no válidas.

Como resultado se obtiene la definición de la mayoría de los huesos del pie cuyo rango de valores en la escala de Hounsfield es [-1.000; 1.383].

© 2013 CIMNE (Universitat Politècnica de Catalunya). Publicado por Elsevier España, S.L.U. Todos los derechos reservados.

Obtaining foot bone structure applying global and adaptive thresholding

A B S T R A C T

Keywords:

Global threshold

Adaptive threshold

Medical image processing

Bone 3D reconstruction

Geometrical model

Matching problem

The description of the mechanical behavior of hard tissues by means of discrete models goes through various stages of analysis, which range from digital image processing to the specification of tissue's physical properties to the discrete model. To achieve good results it is essential to decompose these models into their constituent parts.

In this paper we discuss a method for geometrical description of foot bones from a sequence of computed tomography (CT) images.

This research proposes a combination between global and adaptive thresholdings to determine the geometric domain of bones in each slice and the analysis of the spatial relationships between contours in consecutive planes in order to obtain bones' isosurfaces.

The algorithm proposed is based on 4 stages: the reading of computed tomography (CT) images; the determination of the contours that define the bone tissue present on each slice; the grouping of contours whose relationship meet a given criteria; the elimination of non-valid volumes.

As a result, it is possible to obtain the geometrical domain of a great number of foot bones whose range in the Hounsfield is [-1000; 1383].

© 2013 CIMNE (Universitat Politècnica de Catalunya). Published by Elsevier España, S.L.U. All rights reserved.

* Autor para correspondencia.

Correos electrónicos: dolgis@infomed.sld.cu (D.R. Ortega), tania@mecanica.cujae.edu.cu (T. Rodríguez), benedict.verheghe@ugent.be (M. de Beule).

1. Introducción

El pie humano (fig. 1) es la extremidad que soporta el peso del cuerpo y permite la locomoción. Contiene 26 huesos, 33 articulaciones y más de 100 músculos, ligamentos y tendones [1].

Es tal su importancia que son varios los campos de investigación en los cuales se simula su comportamiento mecánico mediante la utilización de modelos discretos [2–4] con el objetivo de realizar estudios antropométricos y análisis cinemáticos tanto para estudiar la marcha [5] como para optimizar el diseño de prótesis y calzado [6].

El proceso de obtención del dominio geométrico interior del pie (separación e identificación de los huesos) a partir de un conjunto de imágenes médicas es un proceso complejo porque depende de las características del tejido óseo y de la calidad de la imagen obtenida.

Los huesos del pie contienen 2 tipos de tejido óseo: tejido óseo cortical y tejido óseo esponjoso.

El tejido óseo cortical se encuentra en la superficie de los huesos, es muy denso y fuerte; como resultado, tiene mayor coeficiente de absorción electromagnética que los tejidos óseos esponjosos y cancerosos [7].

El tejido óseo esponjoso se encuentra en el interior de los huesos e induce un determinado patrón de textura que provoca variaciones en la intensidad de la imagen en estas regiones [7].

Dado que los coeficientes de absorción electromagnética de los tejidos cortical y esponjoso son diferentes, teóricamente se podrían definir los píxeles que representan el contorno de los huesos mediante un nivel de umbral único (en función del coeficiente de absorción electromagnética).

En la práctica no es así debido a las características del equipo de adquisición de imágenes utilizado, las determinadas patologías y los rasgos anatómicos propios del paciente.

Por tanto, en el análisis de imágenes médicas, los principales problemas sin resolver son:

1. La separación de los huesos adyacentes.
2. El efecto de volúmenes parciales (debido a la insuficiente resolución espacial del equipo de adquisición).
3. El ruido presente en la imagen.

En el caso del pie son varias las propuestas para solucionar el problema 1:

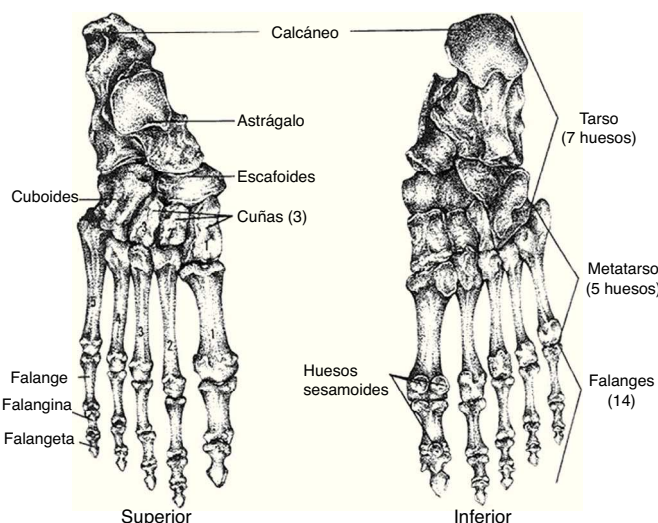


Figura 1. Anatomía ósea del pie.

Hirano y Hata [8] proponen la aplicación de un sistema experto basado en lógica fuzzy para la segmentación y la determinación de los huesos y de sus fragmentos en las fracturas del pie, para lo cual consideran 2 tipos de conocimiento: el de la unión y el de la distancia. Luechinger et al. [9] utilizan imágenes RM (resonancia magnética) para la obtención del dominio geométrico del pie con el objetivo de analizar las posiciones de los huesos del tarso bajo diferentes condiciones de carga. La reconstrucción se realiza utilizando AMIRA [10]. Para el análisis por elementos finitos del pie, Antunes et al. [3] utilizan el crecimiento de regiones para determinar los contornos de los huesos en el plano y la reconstrucción tridimensional mediante técnicas de interpolación 3 D. Liu et al. [11] proponen una técnica de separación interactiva de los huesos del pie (en el plano), que comienza con la selección manual de un píxel semilla en cada hueso que se va a segmentar; posteriormente, aplican la técnica de graph-cut para obtener los contornos de los huesos. Calder et al. [7] emplean conjuntos de nivel para la segmentación de imágenes del pie, de la muñeca y del tobillo.

Estos estudios demuestran la inexistencia de una estrategia única para la obtención por separado de los huesos del pie. Por tanto, es necesario obtener un procedimiento que permita extraer los volúmenes óseos del pie para realizar el estudio biomecánico, en los cuales se puedan insertar los músculos, los ligamentos, etc.

Se propone un algoritmo semiautomático para la solución del problema de la separación de los huesos adyacentes en el pie, centrado en la obtención de los huesos de las regiones del tarso y del metatarso, que son las estructuras anatómicas que se utilizan con mayor frecuencia en los estudios del comportamiento biomecánico del pie.

El mismo algoritmo ha sido desarrollado por el grupo BioMec del Instituto Superior Politécnico José Antonio Echeverría, y se basa en 4 etapas:

1. Lectura de los cortes de imágenes de TC.
2. Determinación de los contornos que definen el tejido óseo en cada corte.
3. Formación de los volúmenes a través del agrupamiento de los contornos cuya relación espacial cumple un criterio determinado.
4. Eliminación de los volúmenes no válidos.

2. Materiales y método

2.1. Imagen Digital Imaging and Communications in Medicine

El formato Digital Imaging and Communications in Medicine (DICOM) se utiliza para obtener, procesar, almacenar, enviar, consultar e imprimir imágenes médicas [12].

Cada imagen obtenida (ecuación 1) representa un corte de la parte analizada del cuerpo y cada píxel denota el grado de atenuación del haz radiológico sobre el tejido humano.

$$I = f(m, n), \quad 2 \leq m \leq M, \quad 2 \leq n \leq N, \quad 0 \leq I \leq P - 1 \quad (1)$$

donde I es la intensidad del píxel y (m, n) definen la posición de este a lo largo de un par de vértices ortogonales normalmente definidos como horizontal y vertical.

Se asume que la imagen tiene M filas y N columnas, con P niveles discretos de intensidad [13,14].

En las imágenes de TC, la intensidad de la señal espacial está dada por el coeficiente de atenuación lineal μ , específico de cada materia y que expresa la atenuación sufrida por un haz de rayos X al atravesar una determinada longitud de una determinada materia.

La unidad Hounsfield (HU, por sus siglas en inglés) es una transformación lineal (ecuación 2) del coeficiente de atenuación lineal μ [15]. Se considera 0 HU la radiodensidad del agua destilada a

presión y temperatura estándar (STP, por sus siglas en inglés), mientras que la radiodensidad del aire a STP es -1.000 HU.

$$HU = \frac{(\mu_{\text{material}} - \mu_{\text{agua}})}{(\mu_{\text{agua}} - \mu_{\text{aire}})} \cdot 1.000 \quad (2)$$

De acuerdo con el estándar DICOM [12], en imágenes de TC el valor de la intensidad de los píxeles está expresado en HU.

Varios autores [16,17] han realizado estudios para relacionar cada material con un valor o rango específico en la escala de Hounsfield.

Sin embargo, no han llegado a una solución consistente porque el valor de μ depende de múltiples factores, como la intensidad de las radiaciones emitidas, la resolución del equipo de adquisición [16,18,19] y la densidad mineral ósea, por lo cual no es posible asignar un valor único en HU a cada material para cualquier estudio radiológico.

Las distancias entre 2 píxeles (Dp) y entre cortes (Dc) son atributos que están presentes como un elemento de dato en los ficheros DICOM. Esto permite la realización de mediciones en distancias reales mediante la transformación de píxeles a milímetros [12].

2.2. Formulación del problema y propuesta

Para obtener los píxeles que definen el área ocupada por cada hueso, generalmente se emplea un nivel de umbral relativamente constante (200–350 HU), incluso valores superiores para huesos duros [8,20].

Sin embargo, debido a la resolución espacial limitada, a una determinada patología, implantes metálicos o a movimientos del paciente durante la adquisición de la imagen, algunos píxeles contienen una mezcla de 2 o más tipos de tejido en lugar de un único tipo.

En la figura 2 se observa que el nivel de intensidad del tejido óseo cortical (fig. 2a) no es constante alrededor de los huesos; además, el tejido óseo trabecular (fig. 2b) tiene un nivel de intensidad similar al tejido blando (fig. 2c).

Así, no es posible especificar un valor de umbral único para determinar los huesos en la imagen, por lo que se propone la combinación de la umbralización global y de la adaptativa (fig. 3).

Las técnicas de umbralización se han utilizado en la segmentación de imágenes debido al nivel de información que pueden ofrecer, pero al mismo tiempo son subjetivas en su aplicación, no tienen en cuenta las características espaciales de la imagen, son sensibles a inhomogeneidades de la intensidad y al ruido, y se dividen en 2 clases: global y local (adaptativa).

En la umbralización global se emplea un mismo valor de umbral para toda la imagen. Los métodos de umbralización local subdividen la imagen en pequeñas áreas (subimágenes) y utilizan una

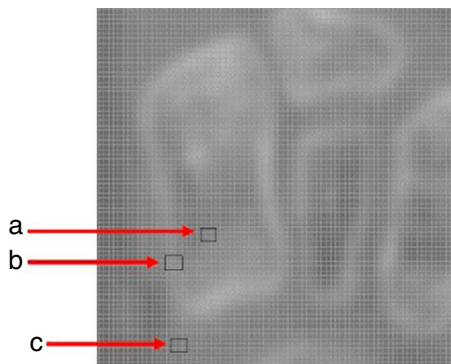


Figura 2. Imagen ampliada de TC del pie. a) Región de píxeles que representan el tejido óseo cortical; b) región de píxeles que representan el tejido óseo trabecular; c) región de píxeles que representan el tejido blando.

función estadística para calcular el nuevo valor del píxel central de cada subimagen.

La umbralización local es computacionalmente más compleja que la umbralización global, pero muy útil para segmentar objetos en un fondo variable y en la extracción de regiones muy pequeñas y poco densas [21].

La ventaja de combinar ambos métodos (mediante intersección de imágenes) radica en obtener, mediante la umbralización global, una imagen con los píxeles que teóricamente definen, dado un nivel de intensidad, el área del tejido óseo en tanto que la umbralización adaptativa realza los contornos en la imagen.

Si se clasifica un píxel como tejido óseo en la umbralización global pero no es parte de un contorno, este no aparecerá al aplicar la umbralización adaptativa, por lo que al multiplicar ambas imágenes ese píxel no aparece en la imagen resultante.

2.3. Imágenes empleadas

En la presente investigación se utilizaron imágenes de TC con las siguientes características:

- Pie de niño: 250 cortes de 512×512 píxeles, con un tamaño de vóxel de $0,4 \times 0,4 \times 0,5$ mm. Rango de intensidad en HU: [-1.024,0; 1.383,0]. Adquiridas utilizando un escáner Siemens Sensation 64 con una energía: 120 Kvp y 131 mA.
- Pie de adulto 1: 152 cortes de 512×512 píxeles con un tamaño de vóxel de $0,83 \times 0,83 \times 1,4$ mm. Rango de intensidad en HU: [-1.024,0; 1.422,0].
- Pie de adulto 2: 110 cortes de 512×512 píxeles con un tamaño de vóxel de $0,74 \times 0,74 \times 1,0$ mm. Rango de intensidad en HU: [-1.024,0; 1.238,0]. Adquiridas mediante un escáner Siemens Sensation 16 con una energía: 120 Kvp y 345 mA.
- Pie de adulto 3: 160 cortes de 512×512 píxeles con un tamaño de vóxel de $0,84 \times 0,84 \times 1,4$ mm. Rango de intensidad en HU: [-1.000,0; 3.138,0]. Adquiridas mediante un escáner ELSCINT CT TWIN con una energía: 120 Kvp 200 mA. Disponible gracias a la Universidad de Bruselas, Bélgica, como parte del proyecto de

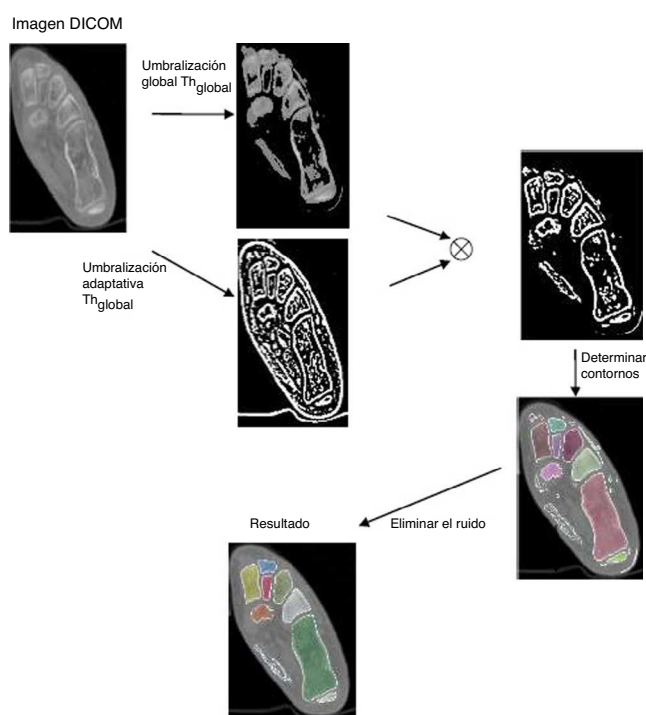


Figura 3. Algoritmo de segmentación propuesto.

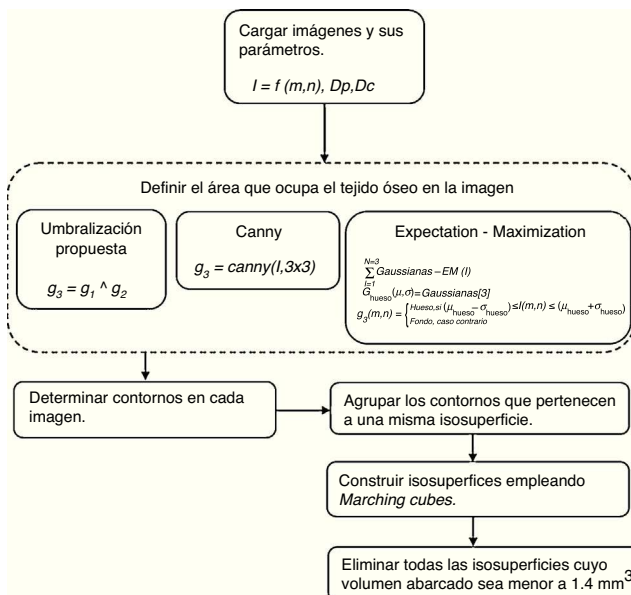


Figura 5. Variaciones del procedimiento de umbralización para la definición del tejido óseo del pie.

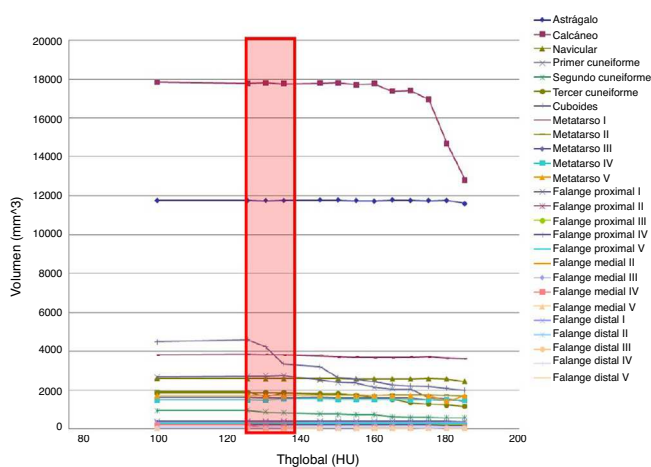


Figura 6. Volúmenes de los huesos del pie con diferentes valores de Th_{global} .

Como resultado, en la figura 7 se observa el dominio geométrico del pie del niño al aplicar el algoritmo propuesto con el valor de Th_{global} definido de forma experimental. Obsérvense además los cartílagos de crecimiento.

El algoritmo de Canny se considera uno de los mejores métodos de detección de contornos, y combina un operador diferencial con un filtro gaussiano. Una vez finalizado, se obtiene como resultado una imagen binaria en la que cada píxel se define como píxel de borde o de fondo [31].

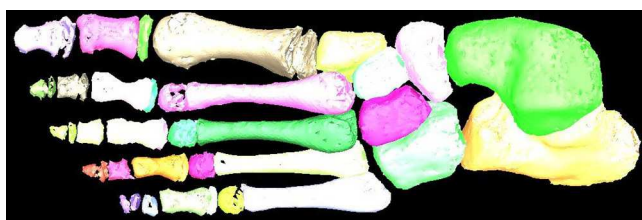


Figura 7. Dominio geométrico del pie de un niño. $Th_{global} = 125$ HU y $t = 0,2$.

El algoritmo de Canny consiste en 3 grandes pasos:

1. Obtención del gradiente: se calcula la magnitud y la orientación del vector gradiente en cada píxel.
2. Supresión no máxima: se logra el adelgazamiento del ancho de los bordes, obtenidos con el gradiente, hasta lograr bordes de un píxel de ancho.
3. Histéresis de umbral: se aplica una función de histéresis basada en 2 umbrales; con este proceso se pretende reducir la posibilidad de aparición de contornos falsos.

El algoritmo EM se clasifica como algoritmo generativo sin supervisión y se emplea en operaciones de agrupamiento (*clustering*). En este, se ajustan N distribuciones gaussianas a los datos de entrada. Constituye, por tanto, una forma efectiva de representar una distribución compleja con pocos parámetros (media y varianza) [33].

La determinación de los píxeles que definen el tejido óseo en las imágenes, mediante EM, requiere la realización de 2 pasos:

1. Ajustar el histograma de la imagen a 3 distribuciones gaussianas, que identifican el fondo, el tejido blando y el tejido óseo.
2. Umbralizar la imagen según los valores de la distribución gaussiana que representa el tejido óseo.

El valor de t empleado para la determinación de los contornos que pertenecen a una misma isosuperficie fue especificado manualmente, y se varió entre 0,1–0,8 hasta obtener la cantidad máxima de huesos separados correctamente.

Cada conjunto de imágenes del pie fue procesado indistintamente por las 3 variaciones y se obtuvieron los dominios geométricos correspondientes, que se compararon empleando como métricas la cantidad de huesos delimitados correctamente y el tiempo de procesamiento.

Para realizar los experimentos, se utilizó un procesador Core I7 2.67 GHz con 4 GB de RAM.

4. Resultados y discusión

Las figuras 8–10 muestran los resultados obtenidos al aplicar las variantes de umbralización propuestas a 3 estudios del pie en adultos. El nivel de descomposición del dominio geométrico alcanzado

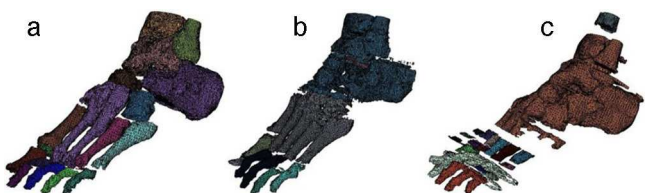


Figura 8. Dominio geométrico del pie del adulto 1. a) Combinando la umbralización global y adaptativa con $Th_{global} = 180$ HU; b) aplicando Canny; c) aplicando EM. Criterio de intersección de contornos $t = 0,3$.

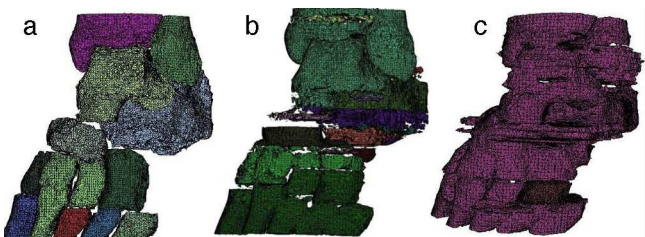


Figura 9. Dominio geométrico del pie del adulto 2. a) Combinando la umbralización global y adaptativa con $Th_{global} = 300$ HU; b) aplicando Canny; c) aplicando EM. Criterio de intersección de contornos $t = 0,46$.

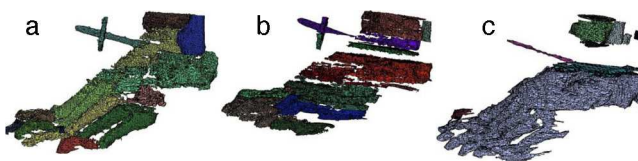


Figura 10. Dominio geométrico del pie del adulto 3. a) Combinando la umbralización global y adaptativa con $Th_{global} = 50$ (HU); b) aplicando Canny; c) aplicando EM. Criterio de intersección de contornos $t = 0,3$.

por cada una de estas se observa a través de la representación de las isosuperficies (regiones anatómicas) en diferentes colores.

En las figuras 8a, 8b y 8c, se aprecian las isosuperficies del modelo del pie adulto 1 posterior a la aplicación de los 3 algoritmos.

Mediante la combinación con la umbralización adaptativa (fig. 8a) se obtuvieron los huesos del tarso, a excepción de los cuneiformes, que se detectaron como una sola entidad (2 de ellos unidos con el segundo y tercer metatarso). Por su parte, las umbralizaciones mediante Canny y EM no dieron buenos resultados (figs. 8b y 8c).

En el caso del pie adulto 2, la combinación con la umbralización adaptativa (fig. 9a) permitió la obtención de todos los huesos del tarso, excepto del segundo y del tercer cuneiforme además del segundo metatarso. De igual forma, con la umbralización mediante Canny y EM no se obtuvieron buenos resultados (figs. 9b y 9c).

Al aplicar el algoritmo propuesto al estudio del pie de adulto 3 (fig. 10a) se observa que los contornos que representan el calcáneo y el cuboides no se definen correctamente y aparecen fusionados. De igual forma, no se obtiene una correcta definición de las 3 cuñas. Sin embargo, los resultados obtenidos son superiores en comparación con los obtenidos mediante la umbralización por Canny (fig. 10b) o EM (fig. 10c).

En la figura 11 se muestran los valores porcentuales de las estructuras óseas determinadas correctamente por cada una de las propuestas de umbralización en los estudios analizados. La propuesta de combinar la umbralización global y la adaptativa obtuvo mayor índice de aciertos en todos los casos.

El tiempo empleado por la umbralización mediante EM (tabla 1) fue superior debido al procesamiento de los histogramas de las imágenes para obtener las distribuciones gaussianas.

Los tiempos de procesamiento mediante el algoritmo de Canny y la umbralización propuesta fueron similares, sin embargo esta última ofrece mejores resultados en cuanto a la descomposición geométrica.

4.1. Limitaciones al modelo

La principal limitación al modelo se observó en la obtención del dominio geométrico de las falanges. El algoritmo propuesto en

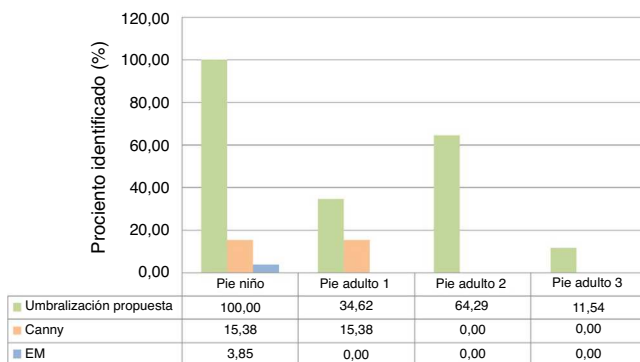


Figura 11. Porcentaje de estructuras óseas identificadas correctamente por cada variante de umbralización.

Tabla 1
Tiempo de procesamiento promedio

Estudio	Tiempo de procesamiento promedio (s)		
	Algoritmo propuesto	Canny	EM
Pie niño	81,3	82,4	187,5
Pie adulto 1	75,6	77,6	178,2
Pie adulto 2	57,8	58,9	93,5
Pie adulto 3	76,8	75,8	180,4

ocasiones identifica 2 o más falanges como parte de una misma entidad geométrica.

La figura 12 muestra los errores de la segmentación en un corte del pie de adulto 3. Se observa (fig. 12b) que los contornos que representan el calcáneo y el cuboides no se definen correctamente y aparecen fusionados. De igual forma, no se obtiene una correcta definición de las 3 cuñas (fig. 12b).

Esta ambigüedad en la definición de los contornos de los huesos generalmente ocurre a causa de la baja resolución espacial de las imágenes, lo cual dificulta, incluso para un experto, la segmentación de tales imágenes.

Otro elemento que se debe tener en cuenta es que como consecuencia del proceso de envejecimiento se pueden producir cambios degenerativos. Esta situación puede provocar anquilosis (fusión espontánea articular), es decir, se unen las articulaciones y en las imágenes de TC varios huesos aparecen como una sola entidad [34]. Además, esa fusión se puede realizar de forma quirúrgica (denominada artrodesis).

Como se explicó anteriormente, el tejido cortical de la superficie de los huesos debe aparecer como un borde brillante que rodea una región más oscura, correspondiente a los demás tipos de tejido óseo en imágenes de TC [7]. Esto facilitaría el desempeño del algoritmo de segmentación.

Sin embargo, factores como una determinada patología, los cambios degenerativos, la posición del paciente al tomar las imágenes y la limitada resolución espacial de la modalidad de obtención de imágenes empleada no permiten que aparezca el tejido óseo cortical de esta forma. Una posible mejora de la calidad de las imágenes sería incrementar el nivel de radiaciones emitidas, pero esto podría comprometer la salud del paciente u ocasionar problemas en el funcionamiento del equipo de adquisición [35,36].

La utilización de algoritmos de filtrado en la etapa de preprocesamiento de las imágenes ayuda a proporcionar imágenes más nítidas y contrastantes [37–42], procedimientos que se fundamentan en transformar y modificar la intensidad de cada píxel, pero la transformación de la intensidad podría eliminar información valiosa o relevante para diagnosticar patologías tempranas. Por

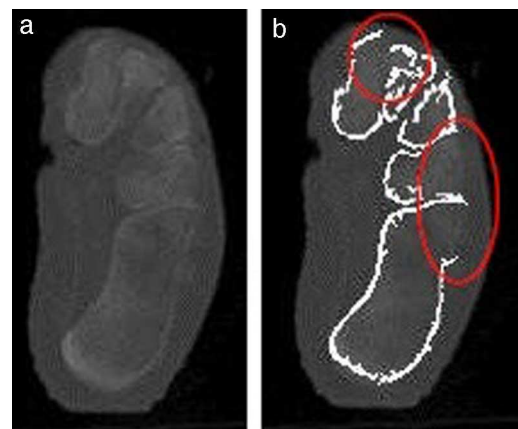


Figura 12. Ejemplo de fallo de la segmentación en una imagen de TC de baja resolución espacial. a) Imagen original; b) imagen con los contornos determinados.

